

## Annexe : Etude théorique du quartz

### I Etude du quartz

#### I.1 L'effet piézo-électrique

La piézo-électricité est un phénomène spécifique de certains cristaux anisotropes dont le plus connu est le quartz (variété polymorphique très répandue de la silice  $\text{SiO}_2$ ), découvert en 1880 par Jacques et Pierre Curie. Ce phénomène est l'ensemble de deux effets :

- l'effet piézo-électrique direct : soumis à une contrainte mécanique, le cristal acquiert une polarisation électrique et des charges électriques apparaissent à sa surface ;
- l'effet piézo-électrique inverse : soumis à un champ électrique, le cristal se déforme.

Les applications de la piézo-électricité sont nombreuses, par exemple : capteurs de forces et de pression, transducteurs à ultrasons, résonateurs à quartz (filtres, horloges), etc.

#### I.2 Modélisation électrique

Le résonateur à quartz, composé d'une lame de quartz partiellement métallisée sur ces deux faces, est modélisé par le circuit électrique de la figure 1 :

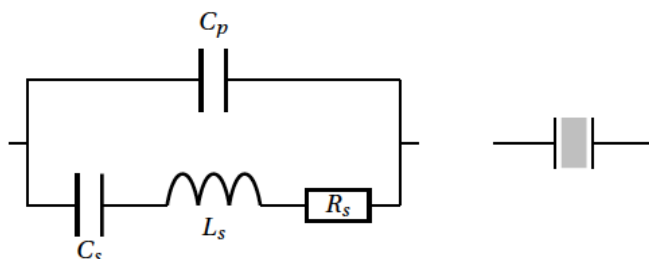


FIG. 1 – Schéma électrique équivalent d'un quartz et sa représentation symbolique (à droite)

La capacité  $C_P$  traduit les effets capacitifs cumulés entre les deux électrodes, le boîtier métallique et les fils de liaison ; la résistance  $R_S$  traduit la résistance de l'air et l'action des points de fixation de la lame sur son support, les paramètres  $C_S$  et  $L_S$  sont la traduction électrique des oscillations mécaniques du réseau cristallin.

#### I.3 Etude théorique de l'admittance du quartz

##### I.3.a Quartz sans amortissement

En première approximation, on néglige l'amortissement ( $R_S = 0$ ). Dans de telles conditions, on montre que l'admittance  $\underline{Y}(\omega)$  du quartz s'écrit :

$$\underline{Y}(\omega) = j \left( C_P \omega + \frac{C_S \omega}{1 - L_S C_S \omega^2} \right)$$

➤ Déterminer mathématiquement :

- la pulsation de résonance  $\omega_r$ , c'est-à-dire la pulsation pour laquelle l'admittance est de module infini : l'intensité qui traverse le quartz est théoriquement infinie, en pratique maximale ;
- la pulsation d'antirésonance  $\omega_a \neq 0$  pour laquelle l'admittance est nulle : l'intensité qui traverse le quartz est donc nulle.

On définit les quantités :

- ★  $Q_S = \frac{L_S \omega_r}{R_S}$ , facteur de qualité de la branche série  $L_S, C_S, R_S$  ;
- ★  $M = \frac{1}{R_S C_P \omega_r}$ , le rapport des intensités dans les deux branches en parallèle à la résonance.

Avec ces notation , on montre que :

$$\omega_a^2 = \omega_r^2 \left( 1 + \frac{M}{Q_S} \right)$$

✚ Pour le quartz étudié, les ordres de grandeurs de ces quantités sont  $Q_S = 10^4$  à  $10^5$  et  $M = 10$  à 100. Que peut-on en déduire pour les pulsations  $\omega_a$  et  $\omega_r$  ?

### 1.3.b Quartz avec amortissement

Dans toute la suite on tient compte de l'amortissement. Celui-ci étant pris en compte l'admittance du circuit devient :

$$\underline{Y}(\omega) = \frac{1}{R_S} \left( \frac{j\omega}{M\omega_r} + \frac{1}{1 + jQ_S \left( \frac{\omega}{\omega_r} + \frac{\omega_r}{\omega} \right)} \right)$$

Vu les ordres de grandeurs de  $Q_S$  et  $M$ , on admettra que la pulsation de résonance est toujours  $\omega_r$ , et la pulsation d'antirésonance  $\omega_a$ . La non nullité de  $R_S$  modifie ces valeurs, mais de quantités qui sont de l'ordre de quelques dizaines de mHz, ce qui est très nettement inférieur à la précision des mesures effectuées dans la suite.

Au voisinage de la résonance, l'admittance vaut :

$$\underline{Y}(\omega) = \frac{1}{R_S} \left( \frac{1}{1 + jQ \frac{2\Delta\omega}{\omega_r}} \right) \quad \text{avec} \quad |\underline{Y}(\omega_r)| = |\underline{Y}(\omega)|_{\max} = \frac{1}{R_S}$$

tandis qu'autour de l'antirésonance, on a

$$|\underline{Y}(\omega_a)| \simeq \frac{1}{R_S M^2}$$